

秋田工業高等
正員 ○庄谷征美
秋田大学
正員 藤島入
秋田大学
正員 德田弘

1. 結言 コンクリートの充圧性状に関しては今まで多くの実験的研究がなされてきている。しがしながら、それらの多くは断面中心部に局部荷重を作用させた場合の充圧強度特性を取り扱ったものであって、コンクリート断面の数ヶ所にわたって局部的荷重を受ける場合や、断面中心軸より偏心して荷重を受ける場合などについての実験報告はないようと思われる。本研究は上記の最も単純化例として、Krebs等が行なったような断面中心軸に沿って帶状荷重が対称に作用する場合のコンクリートについてその2次元充圧性状を実験的に明らかにしようとしたもので、載荷板幅、載荷位置を変化させた場合の柱状コンクリートの破壊およびびわれ特性、充圧強度などを2種の供試体を用いて検討したものである。

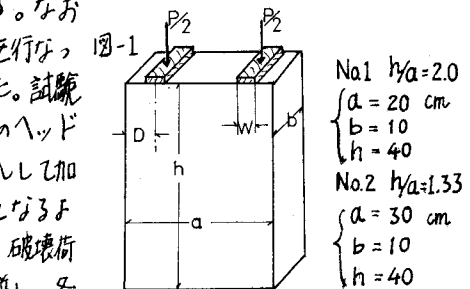
2. 実験概要 用いたセメントは普通ポルトランドセメントで骨材は細骨材として川砂(比重2.54, F.M. 2.55), 粗骨材として碎石(比重2.60, 最大寸法15mm F.M. 6.55, 25mm 7.03)を使用した。コンクリートの配合は表-1に示すようであつて、目標スランプおよびフロー値を5cm, 200とし、骨材最大寸法を3種に変化させたものである。骨材粒度は土木学会標準粒度範囲をほぼ満足するものであった。用いた供試体寸法、形状は図-1のようであつて、 $h/a = 2$ のものをNo.1供試体、 $h/a = 1.33$ のものをNo.2供試体とした。なお、図中に示す載荷板幅があわせて示されている。載荷板幅、位置、コンクリートの試験找合などは表-2に示すようであつて、これら試験の組合せ総数は108となる。なお

、このほかに h/a を数種変化させたものについても若干の試験を行なっている。供試体は一部を除いて試験找合まで水中養生を行なった。試験は最大容量200tの油圧式圧縮試験機を用いて行ない、試験機のヘッドと載荷板(鋼製厚さ2cm)の間に半円形およびV形鋼棒をどう入れて加圧した。載荷速度はびわれ発生まで充圧面で2~3kg/cm²/secとなるようとした。測定項目は、初びわれ荷重、びわれ長さ、位置、破壊荷重などであつて、びわれ非一部を除いてすべて目視により追跡し、各荷重ごとの変化状態を供試体上面に記してこれを行なった。各供試体の作製にあたって同時に中10×20cmの円柱供試体を作製し、各柱径における充圧強度、引張強度を算定した。なお、解析にあたり充圧強度はNo.1, No.2の間に差が顕著に認められなかつたので、これらを同一として取り扱つてある。

3. 実験結果 (1) 供試体のびわれおよび破壊性状 びわれ

は、破壊に直接関係せず載荷板間のある点で発生するスパンリングクラックと載荷地点に生じる破壊に近づくためバースティングクラックとに大別できる。図-2は、本実験におけるスパンリングクラック発生位置と載荷位置との関係を示したもので、これより、スパンリングクラックの発生位置は最大荷点から求めた理論値とは必ずしも一致しないこと、ひんの影響および供試体の乾燥程度による影響が認められる。また、クラック発生荷重(充圧面中心軸から載荷点までの距離)に逆比例する傾向があり、最小では充圧荷重の4割程度であった。バー

供試体 寸法(cm) W h a b S/G W/C %	単位量(kg/m ³)			
	W	C	S	G
25 5 45.0 41.0 184 409 694 1031				
15 5 45.0 49.1 200 444 784 842				
5 (200) 45.0 100 295 655 1164 一				



No.1 $h/a = 2.0$
 $\begin{cases} a = 20 \text{ cm} \\ b = 10 \\ h = 40 \end{cases}$

No.2 $h/a = 1.33$
 $\begin{cases} a = 30 \text{ cm} \\ b = 10 \\ h = 40 \end{cases}$

供試体	W(cm)	D(cm)	配合	
			柱径	柱高
No.1	1	0.5, 2.5, 5.0, 7.5	表-1 の 3種	3, 7, 14 or 21
	3	1.5, 4.5		
No.2	3	6.0, 9.0	の 3種	3種
	5	2.5, 5.0, 7.5, 10.0		

スティンギングラックの載荷板内縫 α
および外縫から発生するせん断ひ
びわれと、載荷板直下に生ずる割
裂ひびわれとに分けられるが、載
荷位置Dが供試体幅Wの2～3割
程度以上となると割裂ひびわれが
卓越するようであり、ひびわれ荷
重は実験荷重の8割程度以下であ
った。載荷板内縫からのせん断ひ
びわれは、そのほとんどが載荷位

置が上記の値以下にならぬ場合に発生し、図-3に示すように認められる
ように発生荷重のはばが広いことが顯著である。破壊の形式として、内縫からせん断ひびわれの生じたものは片荷重を含む縫部の
角落ちにより破壊するものが多く、外縫からのひびわれおよび割
裂の場合にはそのまま直線的にひびわれが走り破壊するものがほ
とんどである。たゞ、骨材粒径の影響が大きいようである。

(2) 支圧強度 対称荷重の作用を受けるコンクリート
の支圧強度は、偏心載荷のそれと同様に供試体縫からの距
離Dの増加および載荷板幅Wの減少とともに著しく増加
する傾向を示す。この一例を図-4に示したが、この関
係を一般的な形で表わすため、横軸をD/Wでおきかえて両
対数表示と同一配合、残余のものではほぼ同一直線上に示
されることがわかった。2-D/Wを通常の載荷面積比A/A'
と同等として横軸にとり、さらに σ_u/σ_c を圧縮強度 σ_c で無次元
化して表示すれば一般化が可能である。この関係を示したもののが図-5である。したがって、全般的には骨材最大
寸法および圧縮強度の違いが支圧強

表-3

M.A.	Age	σ_c (kg/cm ²)	α	$\bar{\alpha}$	n	\bar{n}	P	\bar{P}	m	\bar{m}	r	\bar{r}	f
25	3	134	0.94	2.0	1.53		1.9		17.0				
	7	210	1.02	0.91	2.1	20.3	18.6	1.9	20.3	20.6			
	14	330	0.81		2.2		22		21.7				
	3	15.5	1.00		2.1	17.1		20		18.4			
	7	23.4	0.76	0.78	2.0	1.8	2.0	16.7	1.8	1.7	19.5		
	14	31.0	0.60		1.6	159		1.5		199			
15	3	12.5	0.71	2.2	1.99		2.0		11.1				
	7	23.0	0.60		2.0		11.8		1.9				
	21	35.5	0.52		1.5	14.1		1.8		16.3			

度に若干の相違を生じさせ、特に骨
材寸法の影響が顯著である。本実
験では砕石を使用したこと一つの
付加要因となりうるといふと考える。こ
の $\sigma_u/\sigma_c = \alpha (A/A')^{\bar{\alpha}}$ の形の式の α ,

$\bar{\alpha}$ は各条件ごとに最小二乗法により求め表-3中に示されている。又、元桐一骨
材寸法のものすべてから評価した値であって、これはモルタルでは0.6程度、コンク
リートでは0.8～0.9の値をとり、元桐一は2.0前後の一定値となる。これより、モ
ルタルまで含めた場合の支圧強度式としては $\sigma_u/\sigma_c = 0.6 (A/A')^{\bar{\alpha}}$ が適当であろうと考える。次に Krits 等の提案
している式 $\sigma_u/\sigma_c = \beta (s_w/m)^{1/m}$ or $\beta (s_w/m)^{1/2}$ で同様に検討を行ない、モルタルまで含めると $\beta = 12.0$ $m = 2.0$ が
適当である。この値はコンクリートでは2.0前後であって、Krits & Raths, Hawkins らの中間程度である。図-6は、
 h/a を変化させた場合の支圧強度の変化をコンクリート、モルタルについて調べたもので、これより $h/a < 1$ では支圧強度が高めで増加する傾向にあるようである。

